

# Um Sistema de Detecção de Ataques Sinkhole sobre 6LoWPAN para Internet das Coisas

---

AUTORES:CHRISTIAN CERVANTES, DIEGO  
POPLADE, MICHELE NOGUEIRA, ALDRI SANTOS  
APRESENTADOR:MÁRCIO LUÍS PETRY



# Introdução

---

A IoT é uma rede híbrida, aberta e heterogênea que integra dispositivos inteligentes chamados de coisas ( things);

Estes dispositivos compartilham informações, que expõem diversas vulnerabilidades na comunicação por apresentar uma infraestrutura variável e recursos computacionais limitados;

# Introdução

---

A vulnerabilidade se apresenta em diversas formas sendo o *sinkhole*, um dos ataques de roteamento mais destrutivos para as redes sem fio;

Um dispositivo atacante *sinkhole* tem o objetivo de atrair a maior quantidade de tráfego de uma certa área prejudicando um ponto de coleta de receber os dados enviados pelos nós.

# Objetivo

---

Este trabalho propõe um sistema para identificar a presença de ataques *sinkhole* dentro do serviço de roteamento da IoT, chamado de **INTI** (Sistema de detecção de Intrusão de ataques *SiNkhole* sobre 6LoWPAN para a Internet das Coisas).

O INTI visa prevenir, detectar e isolar os efeitos do ataque *sinkhole* no serviço de roteamento, e ao mesmo tempo mitigar os efeitos adversos.

# Objetivo

---

O sistema combina o uso de *watchdog* com reputação e confiança dos nós, para a detectar ataques, por meio da análise do comportamento de cada nó.

# Trabalhos relacionados

---

Diversas técnicas e mecanismos tem sido utilizados para detectar ataques *sinkhole*.

Esses sistemas de detecção de intrusão (IDS) atenderem a maioria das características da IoT, mas

- não consideram a mobilidade e são muito restritos na análise do comportamento dos nós;
- possuem elevadas taxas de consumo de recursos e baixo desempenho.

# Modelo da IoT para o Sistema INTI

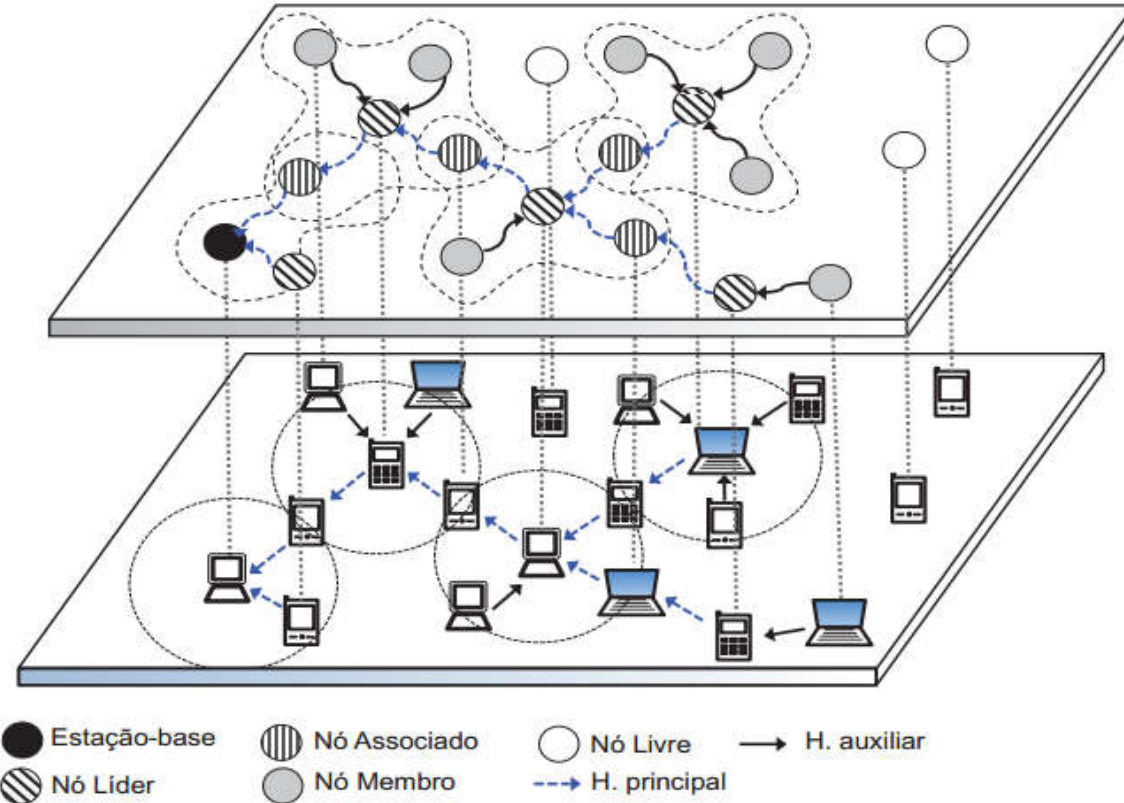
---

A **hierarquia principal** é a estrutura que permitira a comunicação entre os diferentes agrupamentos, nesta hierarquia só intervém os nós líderes, os nós associados e a estação-base como alvo.

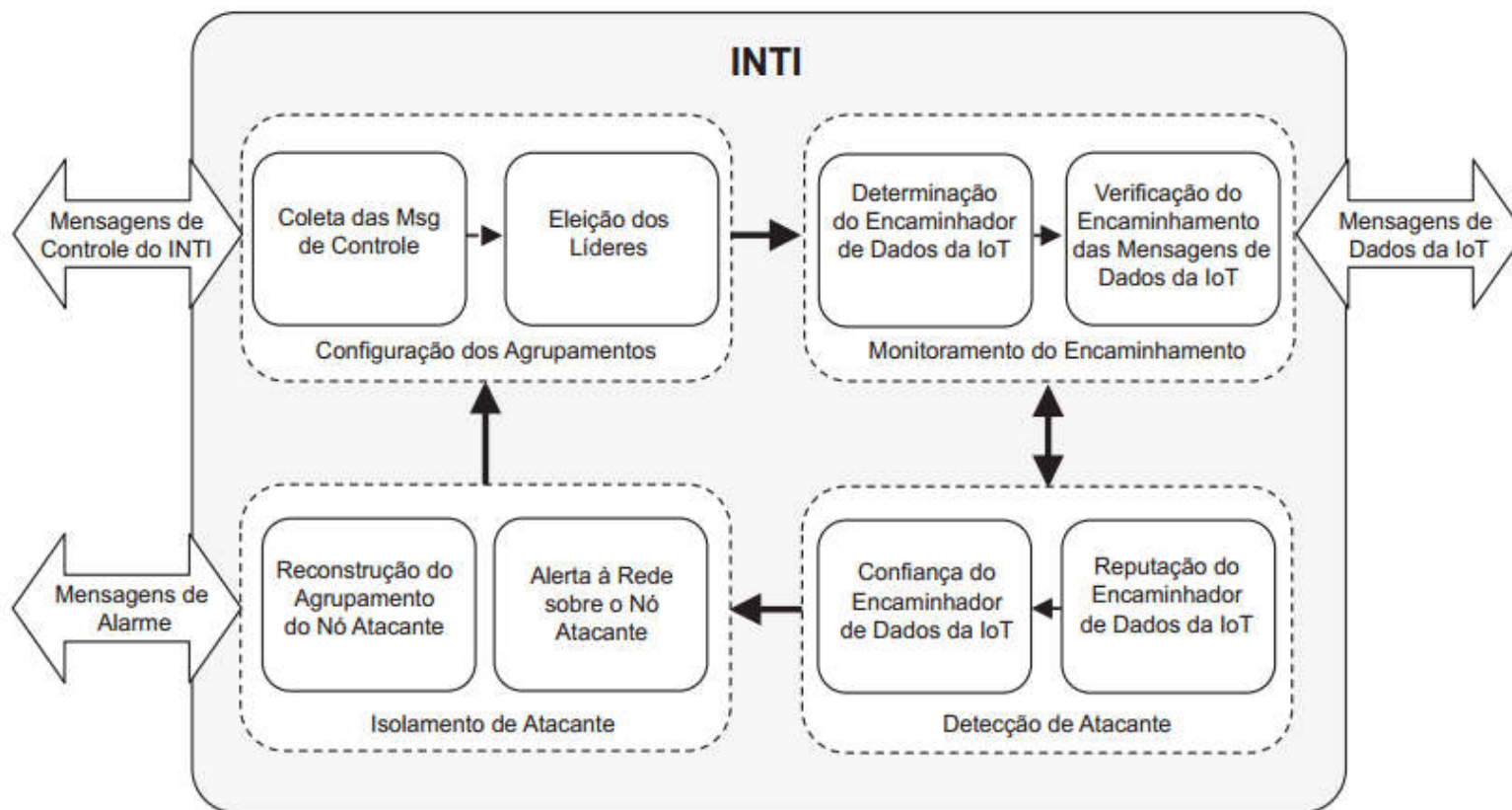
A **hierarquia auxiliar** compreende a comunicação de cada agrupamento realizado pelo nó líder e seus nós membros.

# Modelo da IoT para o Sistema INTI

Os nós da rede são classificados como: nós membros, nós associados e líderes, conforme Figura:



# Arquitetura do Sistema INTI



# Arquitetura do Sistema INTI

## Formação e restauração dos agrupamentos

---

- Inicialmente todos os nós da rede começam livres transmitindo e coletando dados de controle;
- Mensagem via *broadcast* estimam a quantidade de nós vizinhos para eleger os líderes.
- Os nós livres são classificados como nós líderes quando estes possuem a maior quantidade de nós vizinhos em relação aos outros. Após a eleição dos líderes, são definidos os agrupamentos.

# Arquitetura do Sistema INTI

## Formação e restauração dos agrupamentos

---

- A restauração do agrupamento acontece quando um dos nós falha, abandona o agrupamento ou quando ocorre um ataque *sinkhole*;
- Se um nó líder é afetado efetua-se uma nova eleição ou os nós membros afetados reagrupam-se em agrupamentos vizinhos.
- Se um nó associado é afetado existe a possibilidade de escolher outro no associado.

# Arquitetura do Sistema INTI

## Monitoramento do encaminhamento de dados

---

- Princípios de *watchdog* monitoram o número de transições de entrada e saída realizadas por um nó;
- Se a quantidade de transmissões de entrada são iguais ao número de transmissões de saída o nó é considerado bom.
- Caso contrário, o componente assume que está acontecendo algum desvio do seu funcionamento normal.

# Arquitetura do Sistema INTI

## Detecção de ataque Sinkhole

---

A identidade do nó atacante é revelada realizando avaliações da reputação e confiança dos nós;

São calculadas três previsões: incerteza (i), crença (c) e descrença (d) a partir de modelos matemáticos para representar a reputação.

Cada nó propaga seu status ( $St$ ) sobre seu comportamento na transmissão de mensagens para o cálculo de sua reputação.

A reputação é um valor contínuo dentro dos limites  $R[0,1]$ , se o valor de um nó é maior ou igual 0,5 considera-se como um nó bom, caso contrário, é considerado um nó atacante.

# Arquitetura do Sistema INTI

## Isolamento do atacante

---

O módulo de isolamento faz com que o nó detectado seja isolado da rede.

Uma mensagem de alarme em *broadcast* com o ID do nó atacante é colocado na *blacklist* da estação-base.

O nó que detectou o ataque promove o isolamento do atacante enviando uma mensagem de restauração para seus vizinhos.

# Arquitetura do Sistema INTI

## Isolamento do atacante

---

Existem três formas de isolar um *sinkhole*:

(i) quando um nó *sinkhole* é um nó membro: este será isolado pelo nó líder;

(ii) quando o *sinkhole* assume a função de líder: os nós membros isolam o nó *sinkhole* ou caso exista um nó associado este isola o *sinkhole*;

(iii) quando o nó *sinkhole* assume a função de nó associado, este será isolado pelo líder.

# Avaliação do INTI

---

O sistema INTI foi implementado no simulador Cooja, SO de código aberto para sistemas embarcados e redes de sensores sem fio.

Para comparação também foi implementado o IDS SVELTE neste simulador. Para avaliar a eficácia e a eficiência dos sistemas .

O cenário é composto por 50 nós, alguns fixos e outros moveis, como celulares, PDAs, notebooks, que se movimentam em uma área delimitada.

# Avaliação do INTI

---

Os resultados apresentados são a média de 35 simulações  
As métricas utilizadas pelo sistema INTI são:

**Taxa de detecção do ataque** contabiliza os ataques identificados corretamente.

**Taxa de falsos negativos** indica a quantidade de vezes que o nó atacante foi considerado como confiável.

**Taxa de falsos positivos** determina a quantidade de vezes que o sistema detectou um ataque *sinkhole* sendo este negativo.

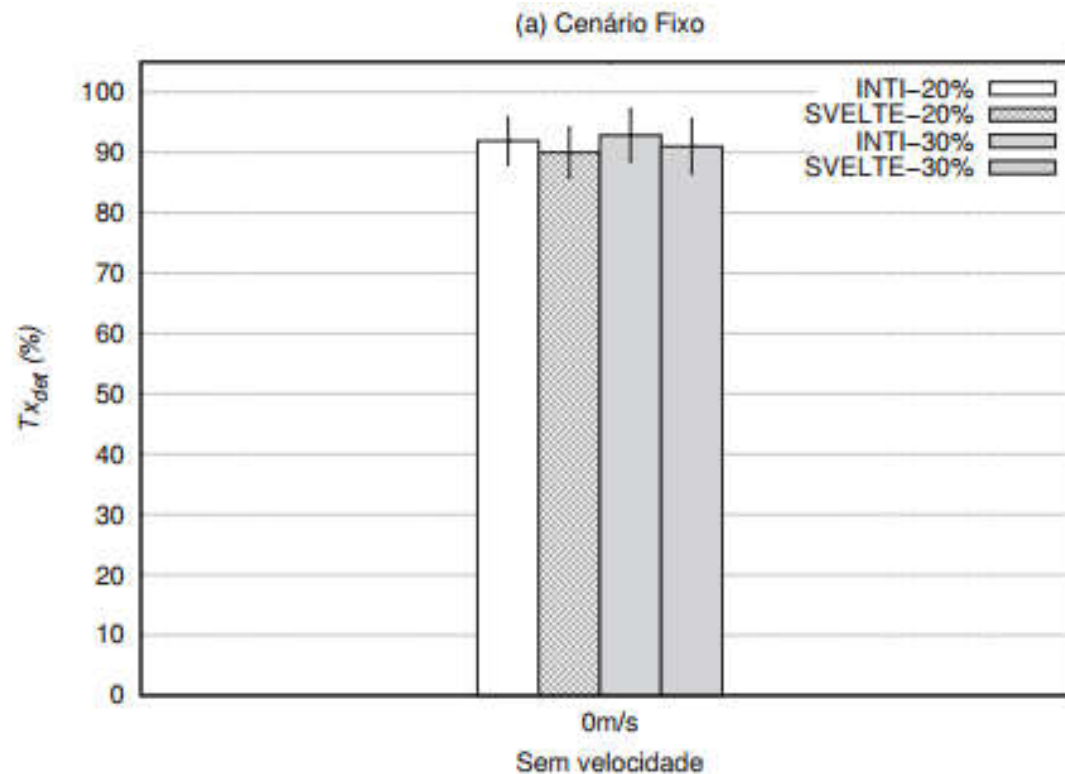
**Consumo de energia** indica o total do consumo de energia dos nós da rede durante a simulação.

**Taxa de entrega de pacotes** determina o total de pacotes de dados recebidos com sucesso.

# Avaliação do INTI

## Eficácia

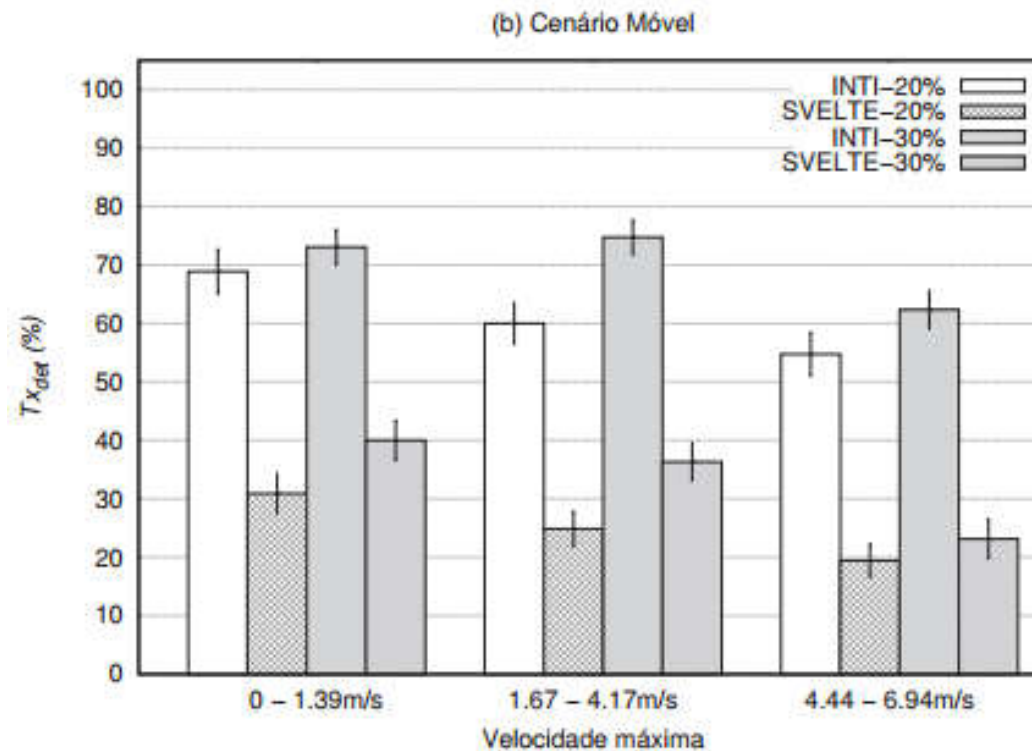
No cenário fixo, o INTI e o SVELTE apresentam praticamente uma igualdade (92% e 90% respectivamente) na detecção de ataques.



# Avaliação do INTI

## Eficácia

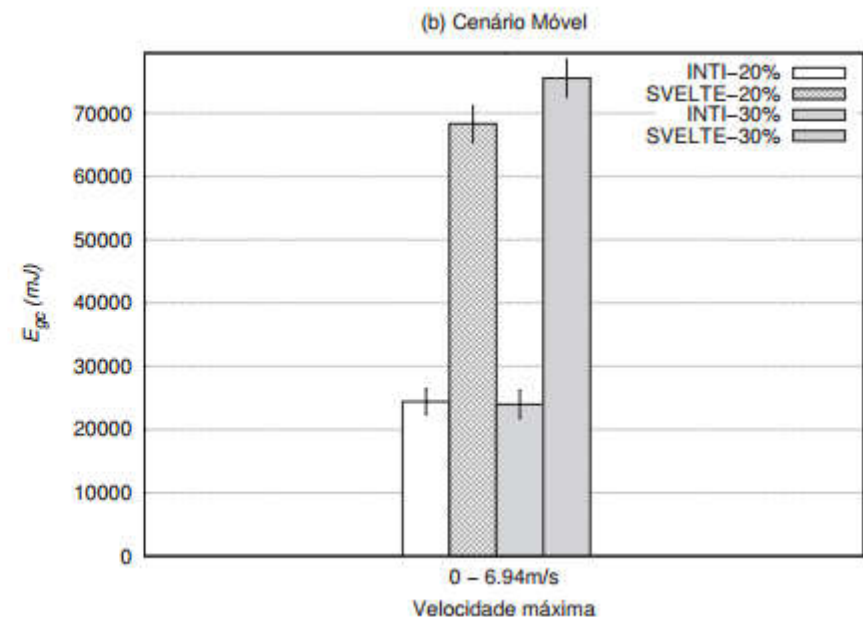
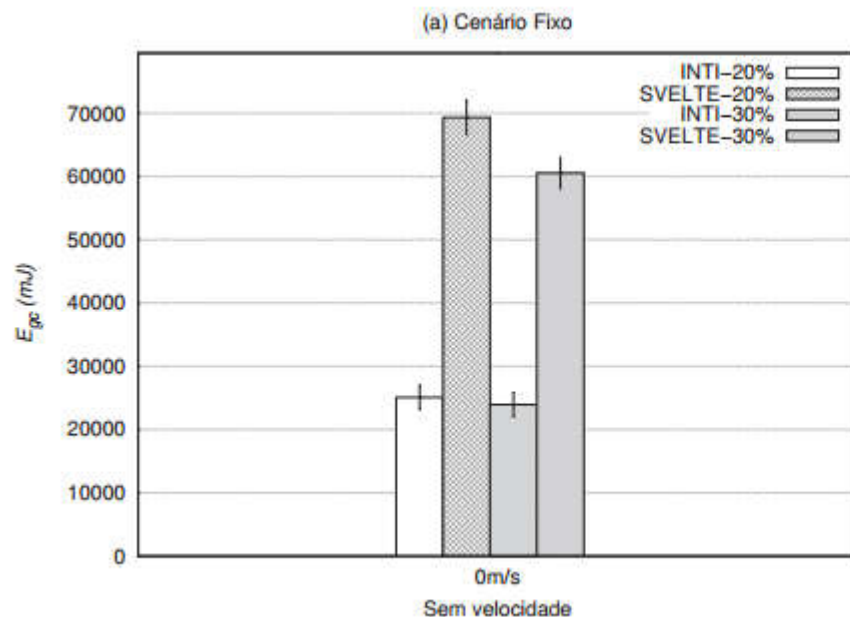
No cenário móvel a taxa de detecção do SVELTE diminuiu para 24% e a da INTI é superior a 70% por considerar a mobilidade dos nós.



# Avaliação do INTI

## Eficiência

As métricas da eficiência verificam o desempenho de acordo com o consumo de energia. O INTI permite a formação de agrupamentos para diminuir o consumo.



# Conclusão

---

O INTI foi avaliado em um cenário realístico para o uso da IoT, alcançando uma taxa de detecção de ataques *sinkhole* de até 92% em um cenário com nós fixos e de 75% em um cenário com nós móveis.

Além disso, o INTI apresentou um baixo consumo de energia e uma baixa taxa de falsos positivos e negativos em relação ao SVELTE.

Como trabalhos futuros, pode se avaliar a eficácia do INTI na detecção de outros tipos de ataques que acontecem na IoT.

# Referências

---

- Atzori, L., Iera, A., and Morabito, G. (2010). The internet of things: A survey. volume 54, páginas 2787–2805, Catania, Italia. Elsevier Science Publishers B. V.
- Bannack, A., da Silva, E., Lima, M. N., dos Santos, A. L., and Albini, L. C. P. (2008). Segurança em redes ad hoc. Anais do XXVI Simpósio Brasileiro de Telecomunicações (SBRT), paginas 19–20.
- Bellavista, P., Cardone, G., Corradi, A., and Foschini, L. (2013). Convergence of MANET and WSN in IoT urban scenarios. volume 13, paginas 3558–3567. IEEE.
- Dunkels, A., Gronvall, B., and Voigt, T. (2004). Contiki-a lightweight and flexible operating system for tiny networked sensors. paginas 455–462. IEEE.
- Gaddour, O. and Koubaa, A. (2012). RPL in a nutshell: A survey. páginas 3163–3178. Elsevier.
- Ganeriwat, S., Balzano, L. K., and Srivastava, M. B. (2008). Reputation-based framework for high integrity sensor networks. ACM Transactions on Sensor Networks (TOSN), 4(3):15.
- Jin Qi, Tang Hong, K. X. L. Q. (2012). Detection and defence of sinkhole attack in wireless sensor network. In ICCT-2012, paginas 809–813, Chengdu, China. IEEE Security.